

# Progetto OC - *Max-Flow* QUBO

Nicola Barbaro (1070668)

Mario Bifulco (881727)

A.A. 2022/2023

## Indice

<b>1</b>	<b>Problema del flusso massimo</b>	<b>2</b>
1.1	Descrizione generale del problema . . . . .	2
1.2	Minimum Cut, Teorema <i>Max-Flow Min-Cut</i> . . . . .	3
1.3	Riformulazione su programmazione lineare primale-duale . . . . .	4
<b>2</b>	<b>QAC e formulazione QUBO</b>	<b>6</b>
2.1	Quantum Adiabatic Computing . . . . .	6
2.2	Quadratic Unconstraint Binary Optimization . . . . .	7
2.3	Simulated Annealing . . . . .	8
<b>3</b>	<b>Min Cut come problema QUBO</b>	<b>10</b>
3.1	Inquadramento del problema . . . . .	10
3.2	Conversione delle variabili di slack . . . . .	10
3.3	Rilassamento Lagrangiano . . . . .	11
<b>4</b>	<b>Implementazione</b>	<b>12</b>
4.1	Test . . . . .	13
4.2	Risultati sperimentali . . . . .	13

# 1 Problema del flusso massimo

## 1.1 Descrizione generale del problema

Introdotta da Harris e Ross nel 1954, il problema del Flusso Massimo (Maximum Flow Problem) richiede di trovare, sulla struttura dati chiamata Rete di Flusso, un flusso plausibile con il rapporto più alto possibile (chiamato, appunto *Flusso Massimo*). Il MF è spesso usato per risolvere problemi legati al trasporto di beni o di instradamento di informazioni su una rete.

Si vuole definire innanzitutto la connotazione della Rete di Flusso. Sia:

- $G = (V, E)$  una rete (rappresentata come un grafo) con  $s, t \in V$  rispettivamente la *fonte* e la *foce* di  $G$ .
- Dato  $(i, j) \in E$  uno qualsiasi spigolo della rete, la sua **capacità** è definita come la massima quantità di flusso che può passare per esso. Il suo valore è definito dalla funzione  $c : E \rightarrow \mathbb{R}^+$ .

**Definizione.** Un generico flusso su una rete  $G = (V, E)$  è una funzione  $f : E \rightarrow \mathbb{R}$  se sono soddisfatti i seguenti:

- *Vincoli di capacità.* Per ogni  $(i, j) \in E$ , il flusso associato ad esso non supererà mai la sua capacità, ossia  $x_{ij} \leq u_{ij}$ .
- *Conservazione dei flussi.* Con sola esclusione del nodo fonte  $s$  e foce  $t$ , la somma dei flussi in entrata in un nodo deve uguagliare la somma dei flussi in uscita dallo stesso nodo. In formula:

$$\forall v \in V \setminus \{s, t\} : \sum_{i:(i,j) \in E} x_{ij} = \sum_{i:(j,i) \in E} x_{ji}$$

Si può osservare come la matrice di adiacenza del flusso  $G$  è antisimmetrica: infatti  $x_{ij} = -x_{ji}$ ,  $\forall (i, j) \in E$ .

**Definizione.** Il **valore** del flusso è la quantità di flusso passante sulla rete a partire dalla fonte  $s$  e terminante nella foce  $t$ . Rappresentato in termini formali, un flusso  $f : E \rightarrow \mathbb{R}^+$  è una funzione il cui dominio è dato da:

$$|x| = \sum_{j:(s,j) \in E} x_{sj} - \sum_{i:(i,s) \in E} x_{is}$$

A questo punto è possibile fornire una introduzione formale del problema attraverso la seguente:

**Definizione.** Il **Problema del Flusso Massimo** è il problema di instradare quanto più flusso possibile dalla fonte alla foce, ossia di trovare il flusso con massimo valore  $x_{max}$  instradabile sulla rete.

Il problema del flusso massimo ammette unica o infinite soluzioni, dato che ci sono infinite combinazioni lineari possibili del valore  $x_{max}$  di partenza.

## 1.2 Minimum Cut, Teorema *Max-Flow Min-Cut*

Nella teoria dei grafi, un **minimum cut** per un grafo è una partizione dei vertici del grafo in due insiemi disgiunti minimale rispetto ad una qualunque metrica definita dal problema. Nella specifica del problema di Flusso Massimo, su rete  $G$ , è interessante porre l'attenzione sull'insieme di tagli chiamati **tagli s-t**  $C = (S, T)$ : questo insieme è una suddivisione dei vertici  $V$  di  $G$  tale che il nodo fonte  $s \in S$  e il nodo foce  $t \in T$ , ossia una ripartizione dei vertici della rete in due parti, con la fonte in una parte e la foce in un'altra. Si definisce il **cut-set**  $X_C$  di un taglio  $C$  l'insieme degli spigoli che connettono i vertici  $i \in S$  ai vertici  $j \in T$ :

$$X_C := \{(i, j) \in E : i \in S, j \in T\} = (S \times T) \cap E$$

È immediato notare che togliere gli spigoli di  $X_C$  da  $E$  renderebbe impossibile la computazione di qualsiasi flusso a valore positivo, perché non ci sarebbero più cammini dalla fonte alla foce percorribili.

La **capacità** di un taglio  $s - t$  è dato dalla somma delle capacità degli spigoli in  $X_C$ :

$$c(S, T) = \sum_{(i, j) \in X_C} u_{ij} = \sum_{(i, j) \in E, i \in S, j \in T} u_{ij}$$

Il problema del **taglio s-t minimale** prevede di minimizzare  $u(S, T)$ , ossia di determinare  $S, T$  tali che la capacità del taglio  $s - t$  sia minimale.

**Teorema *Max-Flow Min-Cut* (1).** Il massimo valore di un flusso  $s - t$  è uguale al taglio  $s - t$  di capacità minima tra tutti i possibili tagli.[2]

### 1.3 Riformulazione su programmazione lineare primale-duale

È possibile rappresentare il problema del Flusso Massimo come un programma lineare primale il cui duale è il programma lineare associato al problema di Minimum Cut.

**Formulazione Primale (a).**

$$\text{massimizza} \quad \sum_{(s,i) \in FS_i} x_{si} = x_{ts} \quad (1)$$

$$\text{soggetto a} \quad \sum_{(h,i) \in BS_i} x_{hi} - \sum_{(i,h) \in FS_i} x_{ij} = 0 \quad \forall i \in V \setminus \{s, t\} \quad (2)$$

$$\left( \sum_{(i,t) \in BS_t} x_{it} \right) - x_{ts} = 0 \quad (3)$$

$$x_{ts} - \left( \sum_{(s,i) \in FS_s} x_{si} \right) = 0 \quad (4)$$

$$0 \leq x_{ij} \leq u_{ij} \quad \forall (i, j) \in E \quad (5).$$

I vincoli hanno la seguente interpretazione:

1. Si vuole massimizzare il flusso su un arco *dummy*, senza capacità, che va dalla foce  $t$  alla fonte  $s$ ;
2. Vincoli che permettono di rispettare la *conservazione dei flussi*;
3. Il flusso massimo trovato dal problema deve combaciare con la somma dei flussi entranti nella foce
4. Il flusso massimo trovato dal problema deve combaciare con la somma dei flussi uscenti dalla fonte
5. Bisogna rispettare il *vincolo di capacità*.

Il duale di un programma lineare primale è definibile attraverso il seguente procedimento:

- Ogni variabile del primale diventa un vincolo del duale;
- Ogni vincolo del primale diventa una variabile del duale;
- Va invertita la funzione obiettivo (da massimo a minimo, o viceversa).

Secondo questo algoritmo, possiamo ottenere a partire da **(a)**, la seguente: **Formulazione Duale (b).**

$$\text{minimizzare} \quad \sum_{(i,j) \in E} \omega_{ij} u_{ij} \quad (1)$$

$$\text{soggetto a} \quad \pi_t - \pi_s \geq 1 \quad (2)$$

$$\pi_i - \pi_j + \omega_{ij} \geq 0 \quad \forall (i, j) \in E \quad (3)$$

$$\omega_{ij} \geq 0 \quad \forall (i, j) \in E \quad (4).$$

Ove:

$$\omega_{ij} = \begin{cases} 1 & \text{se } i \in S \text{ e } j \in T, \text{ ossia lo spigolo } (i,j) \text{ appartiene al taglio } X_C \\ 0 & \text{altrimenti} \end{cases} \quad (1)$$

$$\pi_i = \begin{cases} 1 & \text{se } i \in T \\ 0 & \text{altrimenti} \end{cases} \quad (2)$$

Anche in questo caso è possibile fornire una interpretazione dei vincoli e della funzione obiettivo:

1. La funzione obiettivo vuole minimizzare la capacità totale degli spigoli nel taglio;
2. Il vincolo si assicura che la fonte sia nell'insieme  $S$  e la foce sia nell'insieme  $T$ ;
3. Garantisce che, per ogni nodo  $i, j$  diverso dalla fonte o dalla foce, se  $i \in S$  e  $j \in T$ , allora lo spigolo  $(i, j)$  deve essere considerato nel taglio (e quindi  $\omega_{ij} \geq 1$ );
4. triviale.

Si può osservare come il problema non garantisce quali spigoli non siano nel taglio, ma può solo garantire che, se esso *può* ricadere nel taglio, allora la sua capacità deve essere sommata nella funzione obiettivo: è deducibile che ogni possibile taglio  $s - t$  vede la sua capacità come una soluzione ammissibile per **(b)**, e, dalla teoria, ogni soluzione di **(b)** è un limite superiore per **(a)**, e quindi per il valore del flusso che stiamo cercando di massimizzare.

Dalla teoria della programmazione lineare, è noto il

**Teorema della dualità forte (2).** Dato uno programma lineare primale P, se esso ammette soluzione ottimale  $x^*$ , allora anche il programma lineare duale D associato a P ammette soluzione ottima  $y^*$ , e in particolare si riscontra  $y^* = x^*$ .

Segue perciò che l'uguaglianza definita in (1) è data espressamente dal teorema (2), e che risolvere il problema del Minimum Cut fornisce una soluzione ottima per il problema del Flusso Massimo.

## 2 QAC e formulazione QUBO

### 2.1 Quantum Adiabatic Computing

La risoluzione di problemi intrattabili in modo efficiente utilizzando il calcolo classico richiede la dimostrazione dell'uguaglianza  $P = NP$ . Tuttavia, al momento attuale, questa dimostrazione rimane un problema aperto.

Un'alternativa per affrontare tali problemi è sfruttare modelli di calcolo non convenzionali che utilizzano principi di calcolo differenti. Tra questi modelli, si trovano le architetture basate sulla meccanica quantistica.

Attualmente, i due principali approcci per la computazione quantistica sono la programmazione tramite gate, concettualmente simile alla programmazione tramite porte logiche, e la programmazione adiabatica quantistica (QAC). Quest'ultimo approccio si basa sulla ricerca di stati a minore energia per trovare la soluzione desiderata.

Nel modello di calcolo descritto da QAC, si utilizza una matrice Hermitiana con elementi complessi ( $\mathbb{C}$ ). Gli Hamiltoniani, utilizzati per eseguire la computazione, rappresentano il livello di energia istantaneo di un sistema fisico e descrivono l'evoluzione del suo stato.

L'idea fondamentale è sfruttare le proprietà fisiche per cercare stati a minore energia e quindi più stabili.

La matrice Hamiltoniana è un operatore in uno spazio vettoriale in cui le configurazioni delle variabili sono rappresentate come vettori, che rappresentano gli autovettori della matrice, e i valori assunti dalla funzione da minimizzare corrispondono agli autovalori di  $\mathcal{H}_P$ .

Per risolvere problemi espressi tramite la programmazione lineare utilizzando un Quantum CPU, è necessario convertirli in una formulazione QUBO (Quantum Unconstrained Binary Optimization), che presenta una naturale rappresentazione grafica in forma di grafo, successivamente mappato nel grafo dei qubit.

La mappatura viene effettuata mediante l'utilizzo dell'algoritmo *minor embedding* che preserva le relazioni aggiungendo eventualmente nuovi nodi se necessario. Pur appartenendo alla classe NP-complete tale algoritmo, viene risolto in modo efficiente nel caso medio, rendendolo quindi valido nell'utilizzo pratico.

Ci sono alcuni punti critici da considerare in questo approccio computazionale:

- È difficile fornire un limite inferiore al tempo di annealing (il tempo minimo necessario per raggiungere lo stato finale).
- In assenza di tale limite inferiore, la formulazione QUBO può essere considerata come un'euristica e non è possibile valutare in generale l'efficienza e la correttezza dell'algoritmo.
- Questo approccio non è valido in modo generale, poiché ci sono casi in cui gli algoritmi classici mostrano un comportamento lineare, mentre l'implementazione quantistica può degradare all'aumentare delle dimensioni del problema.

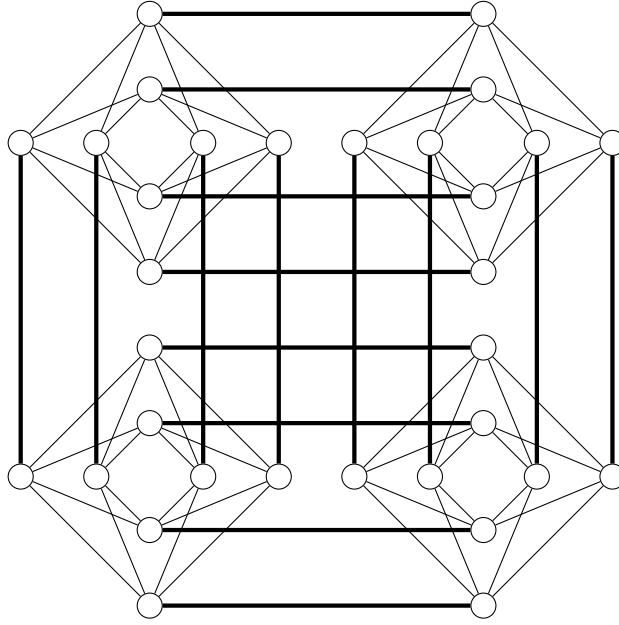


Figura 1: Esempio di QCPU a 32 qubit[5]

## 2.2 Quadratic Unconstraint Binary Optimization

Il problema QUBO, Quadratic Unconstrained Binary Optimization[3], consiste nell'individuare il vettore  $x^* = (x_1^*, \dots, x_n^*)$  che minimizza l'equazione  $\bar{x}^T Q \bar{x}$ , dove  $\bar{x}$  è un vettore colonna di variabili binarie e  $Q$  è una matrice triangolare superiore che rappresenta i coefficienti della funzione da minimizzare.

In particolare, l'obiettivo del problema QUBO è determinare il valore delle variabili binarie  $x_i$  che minimizza l'espressione  $\sum_{i=1}^n \sum_{j=1}^n Q_{ij} x_i x_j$ , dove  $Q_{ij}$  sono gli elementi della matrice  $Q$ .

$$\text{minimizzare } \underbrace{\begin{bmatrix} x_1 & \cdots & x_n \end{bmatrix}}_{\bar{x}^T} \underbrace{\begin{bmatrix} a_1 & \cdots & a_n \\ \vdots & \ddots & b_n \\ 0 & \cdots & c_n \end{bmatrix}}_Q \underbrace{\begin{bmatrix} x_1 \\ \vdots \\ x_n \end{bmatrix}}_{\bar{x}}$$

È importante notare che nella funzione obiettivo espansa, è possibile riscrivere i termini quadratici, cioè le variabili al quadrato, utilizzando il loro equivalente lineare. Questa riscrittura è possibile grazie al dominio delle variabili  $x_i$ , che assumono solo i valori 0 o 1. Pertanto, il termine  $x_i^2$  può essere sostituito con  $x_i$  nella formulazione del problema QUBO.

Il formalismo dei modelli QUBO offre un approccio flessibile per la risoluzione di problemi di ottimizzazione combinatoria mediante l'utilizzo di variabili

binarie e l'espressione quadratica della funzione obiettivo. Questo formalismo è di particolare importanza nella progettazione e nell'implementazione di algoritmi e processori quantistici adiabatici per la risoluzione efficiente di problemi complessi.

## 2.3 Simulated Annealing

L'algoritmo *Simulated Annealing* fornisce una prospettiva intuitiva sul funzionamento di un processore quantistico adiabatico, QCPU.

L'obiettivo di questo algoritmo è raggiungere lo stato finale attraverso un cammino casuale, definito *Random Walk*, esplorando tutti i possibili stati del sistema. La selezione dei passi da compiere è influenzata dalla probabilità che varia nel tempo e determina se accettare o meno le variazioni energetiche del sistema fisico su cui si sta operando.

Nell'implementazione di questo algoritmo, vengono utilizzati due attributi fondamentali: l'insieme degli stati adiacenti a un dato nodo e l'energia associata a tale nodo. Questi parametri influenzano la sequenza di passi che porta al cammino e, dunque, allo stato finale.

Durante l'esecuzione dell'algoritmo, un parametro cruciale è rappresentato dalla temperatura che può decrescere secondo diverse funzioni, più o meno rapidamente. La diminuzione della temperatura comporta una minor propensione al cambio di stato, fino alla stabilizzazione del sistema sulla risposta.

### Formalizzazione dell'algoritmo *Simulated Annealing*

Sia  $G = (V, E)$  un grafo rappresentante il sistema fisico di interesse, dove  $V$  rappresenta l'insieme dei nodi e  $E$  l'insieme degli archi. Ogni nodo  $v \in V$  ha associata un'energia  $E(v)$ , mentre l'insieme degli adiacenti di un nodo  $v$  è indicato con  $N(v)$ .

L'algoritmo *Simulated Annealing* può essere descritto attraverso i seguenti passaggi:

1. Inizializzazione: si assegna a ogni nodo del grafo una configurazione casuale iniziale e si fissa una temperatura iniziale  $T$ .
2. Ciclo principale:
  - (a) Scelta di un nodo  $v$  in modo casuale dal grafo.
  - (b) Selezione di un nodo  $u$  in modo casuale dall'insieme  $N(v)$ .
  - (c) Calcolo della variazione di energia  $\Delta E = E(u) - E(v)$ .
  - (d) Se  $\Delta E \leq 0$ , si accetta la mossa e si aggiorna lo stato del sistema considerando  $u$  come nuovo stato corrente.
  - (e) Se  $\Delta E > 0$ , si accetta la mossa con una probabilità  $p = \exp(-\frac{\Delta E}{T})$ . In caso di accettazione, si aggiorna lo stato del sistema come nel passo precedente.



- (f) Ripeti i passi da (a) a (e) fino a soddisfare una condizione di terminazione.

Durante l'esecuzione dell'algoritmo, la temperatura  $T$  viene ridotta nel tempo seguendo una specifica funzione, che dipende dal problema e dall'obiettivo dell'ottimizzazione.

Tale algoritmo rappresenta un importante strumento per l'esplorazione degli spazi di ricerca complessi e ha trovato applicazioni significative nella risoluzione di problemi di ottimizzazione e nell'ambito della computazione quantistica adiabatica.

È importante notare, inoltre, che l'algoritmo può essere implementato anche su processori quantistici adiabatici, sfruttando le peculiarità della computazione quantistica per ottenere potenziali vantaggi prestazionali.

### 3 Min Cut come problema QUBO

#### 3.1 Inquadramento del problema

Come visto nella sezione 1.2 il problema *Min-Cut* è espresso come:

$$\begin{array}{c|l} \text{minimizzare} & \text{soggetto a} \\ \sum_{(i,j) \in E} \omega_{ij} u_{ij} & \begin{array}{l} \pi_t - \pi_s - 1 = 0 \\ \pi_i - \pi_j + \omega_{ij} - s_2 = 0, \forall (i, j) \in E \\ s_2 \geq 0, w_{ij} \in \{0, 1\}, \pi_i \in \{0, 1\} \end{array} \end{array}$$

Nel quale il primo vincolo è stato trasformato in uguaglianza, in quanto un assegnamento valido non sarà mai diverso da zero, e al secondo vincolo è stata aggiunta un'apposita variabile di slack.

Dove la funzione obiettivo è la somma delle capacità degli archi del taglio, mentre i vincoli garantiscono che il taglio sia valido.

L'obiettivo della riformulazione nel problema QUBO è ottenere un'unica equazione  $\mathcal{H}_P$  composta solo da variabili binarie e che incorpori sia la funzione obiettivo che i vincoli del problema.

#### 3.2 Conversione delle variabili di slack

A differenza delle variabili originali del problema, le variabili di slack non hanno la garanzia di assumere valori binari. Pertanto, è necessario trasformare opportunamente tali variabili per poterle esprimere unicamente attraverso variabili binarie.

La strategia adottata consiste nel convertire ogni variabile di slack utilizzando la relativa rappresentazione in codice binario. I coefficienti delle variabili così introdotte saranno le rispettive potenze di due, consentendo così di rappresentare ogni possibile valore della variabile di slack originale.

Per aggiungere un numero appropriato di variabili binarie, è necessario stimare il valore massimo che le variabili di slack possono assumere. A tal fine, si analizza il limite superiore per ciascuno dei vincoli del problema originale.

Nella riformulazione si useranno le variabili  $y_i^j$ , dove l'indice  $i$  indica il vincolo di riferimento e l'indice  $j$  rappresenta la potenza di due corrispondente. Pertanto, la variabile composta, moltiplicata per il suo coefficiente, sarà:  $2^j y_i^j$ .

**Secondo vincolo** Riformulando il secondo vincolo come  $s_2 = \pi_i - \pi_j + \omega_{ij}$ , il valore massimo si ottiene istanziando  $\pi_i$  a uno,  $\pi_j$  a zero e  $\omega_{ij}$  a uno. In questo modo si ottiene un upper bound pari a due, che viene riformulato come  $y_2^0 + 2y_2^1$ .

### 3.3 Rilassamento Lagrangiano

In seguito alla conversione dei vincoli finalizzata a scriverli esclusivamente tramite variabili binarie, è necessario procedere alla riformulazione completa del problema al fine di consentirne l'espressione come un'unica equazione.

A tale scopo è utile applicare una tecnica di rilassamento al problema *Min-Cut*. In particolare, mediante l'uso del rilassamento Lagrangiano, è possibile convertire i vincoli in funzioni penalità che vengono sommate alla funzione obiettivo. Nel problema affrontato le funzioni penalità vengono sommate poiché si sta lavorando su un problema di minimizzazione. Nel caso di problemi di massimo, le penalità verrebbero sottratte.

È importante notare che l'applicazione del rilassamento al problema originale porta all'introduzione di istanziazioni inconsistenti delle variabili, ovvero casi in cui le penalità introdotte non sono sufficientemente elevate e la soluzione minima ottenuta non soddisfa i vincoli originali del problema.

Al fine di evitare tali situazioni, le funzioni penalità vengono moltiplicate per un opportuno parametro, noto come moltiplicatore Lagrangiano. Il suo scopo è garantire che le penalità influiscano in modo significativo sulla formulazione rilassata del problema, in modo da *forzare* l'assegnamento di valori validi che minimizzino la funzione obiettivo.

La riformulazione del problema in forma QUBO diventa quindi:

$$\mathcal{H}_P = \sum_{(u,v) \in E} \omega_{ij} u_{ij} + \lambda (\pi_t - \pi_s - 1)^2 + \lambda \sum_{(i,j) \in E} (\pi_i - \pi_j + \omega_{ij} - y_2^0 - 2y_2^1)^2$$

Dove  $\lambda$  rappresenta il moltiplicatore Lagrangiano. L'obiettivo è trovare un valore di  $\lambda$  adeguato che garantisca che le penalità influiscano in modo significativo sull'assegnamento delle variabili, al fine di ottenere la soluzione ottima anche per il problema non rilassato.

## 4 Implementazione

Per valutare l'efficacia della riformulazione proposta e dei metodi di calcolo quantistico allo stato dell'arte, l'algoritmo per problema del taglio minimo è stato implementato utilizzando il linguaggio di programmazione Python e le librerie fornite da D-Wave Systems per interagire con la QPU[6].

Per confrontare i risultati ottenuti tramite l'algoritmo in formulazione QUBO con quelli derivabili da approcci classici è stata utilizzata la libreria NetworkX[1], che ci ha permesso di gestire grafi e flussi su reti in modo semplice ed efficiente.

Per garantire un confronto equo tra gli algoritmi, abbiamo anche implementato una versione dell'algoritmo di capacity scaling, noto per la sua efficienza nell'affrontare problemi di flusso massimo su reti, tale algoritmo ha una complessità asintotica pari a  $O(n^2m \log C)$ .

A seguire, lo pseudocodice dell'algoritmo di capacity scaling:

---

**Algorithm 1** Capacity Scaling

---

```
1: procedure CAPACITYSCALING( $G$ )
2:   Inizializza il flusso  $f_e$  su ogni arco  $e \in E$  a 0
3:    $C \leftarrow \max_{e \in E} c_e$ 
4:   while  $C > 0$  do
5:     Trova un cammino aumentante  $p$  in  $G_f$ 
6:     while  $p$  esiste do
7:        $f_e \leftarrow f_e + \delta$  per ogni arco  $e \in p$ 
8:        $C \leftarrow C - \delta$ 
9:     Trova un nuovo cammino aumentante  $p$  in  $G_f$ 
10:    Ricalcola i flussi residui e i pesi degli archi in  $G_f$ 
11:     $C \leftarrow C/2$ 
12: return  $f$ 
```

---

Il codice sviluppato è stato organizzato in un'applicazione da linea di comando, che consente di eseguire i vari algoritmi sull'intero dataset e di riportare i risultati. Inoltre, il pacchetto denominato "implementation" contiene il codice relativo all'algoritmo di capacity scaling e della riformulazione QUBO del problema di taglio minimo.

Questo setup ha permesso di eseguire confronti attendibili tra l'algoritmo quantistico adiabatico e l'algoritmo di capacity scaling, e di valutare l'efficacia della riformulazione proposta per il problema del taglio minimo, oltre che permettere una valutazione qualitativa dell'efficacia degli strumenti di calcolo non classici attualmente disponibili.

## 4.1 Test

I test condotti hanno coperto un insieme di grafi, suddivisibili in due macroclassi, i grafi più semplici e quelli di dimensione maggiore. In particolare, abbiamo impiegato i grafi presentati durante le prove d'esame del corso di Ottimizzazione Combinatoria, oltre a un sottoinsieme dei grafi disponibili nel dataset pubblico per i problemi di flusso[4].

I dati relativi ai grafi sono stati rappresentati e salvati nel formato DIMACS. Questo formato è uno standard ampiamente utilizzato per la rappresentazione di grafi, problemi di flusso e problemi di taglio minimo. La struttura di un file DIMACS è organizzata come segue:

- La prima riga del file contiene una descrizione del grafo o del problema.
- Seguono le righe per identificare specifici nodi, ad esempio il nodo sorgente e quello pozzo.
- Le righe successive contengono le informazioni sugli archi del grafo, ovvero le coppie di nodi componenti lo spigolo e la relativa capacità.

Aperto un file in formato DIMACS il formato visualizzabile è analogo a quanto riportato nel listato sottostante.

```
p max #nodes #edges
n node_id label
a source_node_id target_node_id edge_capacity
```

## 4.2 Risultati sperimentali

Nella tabella 1 sono riportati i tempi d'esecuzione per le tre sperimentazioni svolte, mentre nella tabella 2 si trovano i risultati, ovvero il massimo flusso, ottenuti tramite la computazione classica o tramite il calcolo quantistico.

Nella seconda tabella il valore ottenuto tramite la libreria e quello derivante dall'implementazione dell'algoritmo *Capacity Scaling* sono riportate nella stessa colonna in quanto essendo entrambi algoritmi deterministici avere risultati diversi implicherebbe un errore nell'esecuzione.

Tale discorso non si applica invece per la computazione quantistica, che restituisce l'istanziatura delle variabili a minore energia, ma sfruttando un approccio probabilistico non c'è garanzia che il risultato sia esattamente quello desiderato.

Tabella 1: Tempi d'esecuzione

Grafo	Libreria (s)	CapacityScaling (s)	QAC (s)
2015-06-10.max	0.00100	0.00100	-1
2015-09-18.max	0.00100	0.00100	-1
2015-07-09.max	0.00100	0.00100	-1
2019-06-21.max	0.00100	0.00100	-1
2020-09-15.max	0.00100	0.00100	-1
2021-07-06.max	0.00100	0.00100	-1
2021-06-14.max	0.00001	0.00100	-1
2021-09-13.max	0.00001	0.00200	-1
BVZ-tsukuba8.max	88.28760	416.60800	-1
BVZ-venus1.max	266.89360	1232.29300	-1
BVZ-sawtooth15.max	160.31860	1554.15700	-1
BVZ-tsukuba7.max	130.15300	199.88400	-1
BVZ-venus0.max	255.65700	1522.47000	-1
BVZ-venus10.max	257.85000	1855.94300	-1
BVZ-venus17.max	223.88600	1300.08000	-1
BVZ-venus13.max	86.02160	5486.61894	-1
BVZ-venus2.max	298.23400	1535.18092	-1
BVZ-venus11.max	112.00959	6132.16092	-1
BVZ-venus14.max	346.34100	2173.71200	-1
BVZ-venus15.max	81.29500	6218.44792	-1
BVZ-venus12.max	316.60100	2563.73400	-1
BVZ-venus16.max	318.94800	1415.69300	-1
KZ2-venus10.max	1188.77692	14554.88358	-1
KZ2-venus20.max	942.27799	9690.74837	-1
KZ2-venus16.max	982.49200	11064.19739	-1
KZ2-venus12.max	719.88700	15539.82438	-1
KZ2-venus14.max	833.82900	13426.26237	-1
-	-	-	-
-	-	-	-
-	-	-	-
-	-	-	-
-	-	-	-
-	-	-	-
-	-	-	-

Tabella 2: Flusso massimo calcolato

Grafo	Calcolo classico	Formulazione QUBO
2015-06-10.max	14	
2015-09-18.max	7	
2015-07-09.max	16	
2019-06-21.max	12	
2020-09-15.max	13	
2021-07-06.max	10	
2021-06-14.max	7	
2021-09-13.max	12	
BVZ-tsukuba8.max	54458	
BVZ-venus1.max	274732	
BVZ-sawtooth15.max	359799	
BVZ-tsukuba7.max	41095	
BVZ-venus0.max	360038	
BVZ-venus10.max	442371	
BVZ-venus17.max	259189	
BVZ-venus13.max	996632	
BVZ-venus2.max	234246	
BVZ-venus11.max	850805	
BVZ-venus14.max	448731	
BVZ-venus15.max	1149848	
BVZ-venus12.max	340048	
BVZ-venus16.max	210033	
KZ2-venus10.max	1375201	
KZ2-venus20.max	989615	
KZ2-venus16.max	1191635	
KZ2-venus12.max	1393079	
KZ2-venus14.max	1304192	
-	-	-
-	-	-
-	-	-
-	-	-
-	-	-
-	-	-
-	-	-
-	-	-

TODO inserire commento sulla tabella



## Riferimenti bibliografici

- [1] NetworkX developers. Networkx. <https://networkx.org/>. Visitato: 2023-06-20.
- [2] L. R. Ford, Jr. and D. R. Fulkerson. Maximal flow through a network. *J-CAN-J-MATH*, 8:399–404, 1956.
- [3] Fred W. Glover and Gary A. Kochenberger. A tutorial on formulating QUBO models. *CoRR*, abs/1811.11538, 2018.
- [4] Patrick Møller Jensen, Niels Jeppesen, Anders Bjorholm Dahl, and Vedrana Andersen Dahl. Min-Cut/Max-Flow Problem Instances for Benchmarking. 3 2022.
- [5] Catherine C. McGeoch. Theory versus practice in annealing-based quantum computing. *Theoretical Computer Science*, 816:169–183, 2020.
- [6] DWave Systems. Dwave systems. <https://github.com/dwavesystems>. Visitato: 2023-06-20.